

## Междудионное обменное взаимодействие в системах $A_{1-x}^{II}M_xB^{VI}$

© С.В. Мельничук, Я.М. Михайлевский, А.И. Савчук, Д.Н. Трифоненко

Черновицкий государственный университет,  
274012 Черновцы, Украина

(Поступила в Редакцию 10 марта 1996 г.  
В окончательной редакции 3 сентября 1996 г.)

Исследован интеграл сверхобменного взаимодействия  $J_{NN}$  в полумагнитных полупроводниках типа  $A_{1-x}^{II}M_xB^{VI}$ , где в качестве магнитной компоненты М рассматриваются ионы Mn, Fe, Co. Расчеты выполнены в рамках многочастичной теории Рака с учетом основных орбитальных состояний ионов М в кубическом кристалле. Результаты проведенного расчета сравниваются с уже известными экспериментальными данными и с результатами проведенного исследования температурной зависимости фарадеевского вращения. Показано, что механизм сверхобмена позволяет объяснить корреляцию критических значений  $x^*$  для систем  $Cd_{1-x}Mn_xTe$  и  $Cd_{1-x}Fe_xTe$ , при которых междудионное взаимодействие становится существенным.

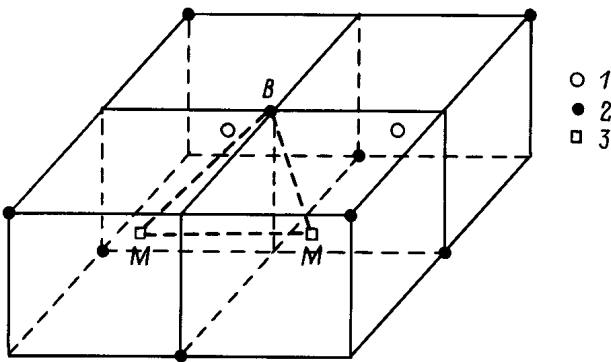
1. Ряд уникальных свойств полумагнитных полупроводников (ПМП) типа  $A_{1-x}^{II}M_xB^{VI}$  (где М = Mn, Fe, Co) определяется обменным взаимодействием между локализованными магнитными моментами и спинами зонных носителей [1]. Кроме указанного взаимодействия в данных системах существует также междудионное обменное взаимодействие. При низких концентрациях ( $x < 0.001$ ) взаимодействие между магнитными ионами можно не учитывать и рассматривать их как изолированные центры, основные состояния которых определяются симметрией соответствующего кристаллического поля. При увеличении концентрации магнитной компоненты обменное взаимодействие приводит к возникновению кластеров. Природа и величина обменного интеграла  $J_{NN}$ , который связывает ближайшие магнитные ионы кластера, является предметом экспериментальных исследований по рамановскому рассеиванию, намагниченности в магнитных полях, неупругому рассеиванию нейтронов, теплоемкости [2]. Обменное взаимодействие ионов в кластере описывается, как правило, гамильтонианом Гейзенберга  $H = -\sum_{ij} J_{ij} S_i S_j$ . Вклад в обменный интеграл  $J$  обусловлен как прямым  $d-d$ -взаимодействием, так и рядом других непрямых процессов. Поскольку перекрытие волновых функций  $3d$ -ионов является слабым для данных материалов, прямой обмен малоэффективен. Среди непрямых механизмов обмена выделяют сверхобмен между магнитными ионами через промежуточный немагнитный атом, механизм Бломбергена–Роуланда (БР), который обусловлен виртуальными междудионными процессами, и механизм Рудермана–Киттеля–Косуя–Иосида (РККИ) — взаимодействие магнитных моментов через свободные носители заряда. Если механизм БР является существенным для узкощелевых материалов, а механизм РККИ — для металлов, то для широкозонных ПМП наиболее существен сверхобмен [3].

В гамильтониане Гейзенберга учитывается, как правило, обменная часть кулоновского взаимодействия для случая двух электронов, находящихся в  $S$ -состоянии [4]. После появления методики Рака [5] в теории сильномагнитных материалов модель Гейзенберга была обобщена на случай многоэлектронных атомов с учетом их орбитальных состояний [6,7].

В данной работе считается, что магнитные ионы ( $Mn^{2+}$ ,  $Co^{2+}$  и  $Fe^{2+}$ ) в ПМП находятся в основных орбитальных состояниях в кристаллическом поле  $T_d$  симметрии и связаны сверхобменным взаимодействием через немагнитные анионы Te, Se или S. Для определения интеграла сверхобменного взаимодействия  $J_{NN}$  используется метод, который развит и детально описан в [8].

Результаты расчета сравниваются с экспериментальными данными для интеграла обмена, известными из литературы и измеренными с помощью эффекта Фарадея для  $Cd_{1-x}Fe_xTe$ .

2. В полупроводниковых твердых растворах  $A_{1-x}^{II}M_xB^{VI}$  атом магнитной компоненты М замещает катион А и находится в кристаллическом поле, которое создается главным образом немагнитными анионами ближайшего окружения (рис. 1). Наименьшее расстояние между магнитными ионами М–М равно половине постоянной решетки  $a/2$ . Выделим в кристаллической решетке систему М–В–М и рассмотрим сверхобменное взаимодействие магнитных ионов М через немагнитный ион В. Многоэлектронные состояния изолированных атомов рассмотрим в приближении рассел-саундерсовской связи. Тогда квантовые состояния атома с  $N$  электронами на  $3d$ -оболочке конфигурации  $l^N$  описываются набором квантовых чисел  $SLMSM_L$ . В результате действия кристаллического поля имеет место расщепление хундовского основного состояния изолированного атома на кристаллические термы  $\Gamma_\gamma$ ,



**Рис. 1.** Пространственное расположение ближайших магнитных ионов в кристаллической решетке со структурой сфалерита. 1 — катион, 2 — анион, 3 — магнитный ион.

волновые функции которых

$$\Psi(SMS\alpha\Gamma_\gamma) = \sum_{ML} C_{LM_L}^{\alpha\Gamma_\gamma} \Psi(nl^N SLM_S M_L). \quad (1)$$

Коэффициенты  $C_{LM_L}^{\alpha\Gamma_\gamma}$  для различных атомных состояний и кристаллических полей приведены в [9].

Прямым взаимодействием электронов магнитных атомов будем пренебречь и учтем в качестве возмущения системы двух магнитных атомов, которые находятся в основном состоянии, обменную часть кулоновского взаимодействия между электронами ионов М и В. В терминах оператора антисимметризации [10] это соответствует учету перестановок  $P_{i\alpha}P_{j\beta}$  ( $i, j$  относятся к магнитным центрам,  $\alpha, \beta$  — к немагнитному центру В). Если рассматривать только основные состояния магнитных ионов (механизм Ямашита–Кондо) и пренебречь возможностью их переходов в возбужденные состояния (механизмы Слеттера и Крамерса–Андерсона), то для оператора получим выражение [8]

$$W = \sum_{d_1 d_2 d \delta} I(1d_1 d_2 d \delta) R_{\chi_1}^{1d_1} R_{\chi_2}^{1d_2} \left( V^1(\mathbf{S}_1) V^2(\mathbf{S}_2) \right) \times \left[ V^{d_1}(\Gamma_1) \times V^{d_2}(\Gamma_2) \right]_\delta^d, \quad (2)$$

где  $0 \leq d_1 \leq 2L_1$ ,  $0 \leq d_2 \leq 2L_2$ ,  $|d_1 - d_2| \leq d \leq d_1 + d_2$ ,  $V^d(J)$  — единичные неприводимые тензорные операторы ранга  $d$ ,  $R_\chi^{1d}$  — параметры Рака,

$$R_\chi^{1d} = \sum_{L_1 S_1} 3N[d][L][S] G_{L_1 S_1}^{LS} (-1)^{L_1 + L + l + d + S_1 + S + 3/2} \times \begin{Bmatrix} l & l & d \\ L & L & L_1 \end{Bmatrix} \begin{Bmatrix} 1/2 & 1/2 & 1 \\ S & S & S_1 \end{Bmatrix}, \quad (3)$$

$\{\dots\}$  —  $6j$ -символы Вигнера,  $G_{L_1 S_1}^{LS}$  — генеалогические коэффициенты [11],  $[d] = 2d + 1$ ,

$$I(1d_1 d_2 d \delta) = \sum_{\delta_1, \delta_2, \delta_0} \begin{bmatrix} d_1 & d_2 & d \\ \delta_1 & -\delta_2 & \delta \end{bmatrix} \times R_{\chi_0}^{10} E_{\delta_1 \delta_0}^{d_1 0}(\mathbf{R}_1) E_{\delta_2 - \delta_0}^{d_2 0}(\mathbf{R}_2), \quad (4)$$

$[\dots]$  — коэффициенты Клебша–Гордона, индексы  $\chi_0, \chi$  символизируют учет основного состояния немагнитного и магнитного ионов соответственно,

$$E_{\delta_1 \delta_0}^{d_1 0}(\mathbf{R}_1) = \sum_{m_0, m'_0 \atop m_1, m'_1} (-1)^{l_0 + m_0 + l_1 + m_1} \begin{pmatrix} l_1 & d_1 & l_1 \\ m_1 & -\delta_1 & -m'_1 \end{pmatrix}$$

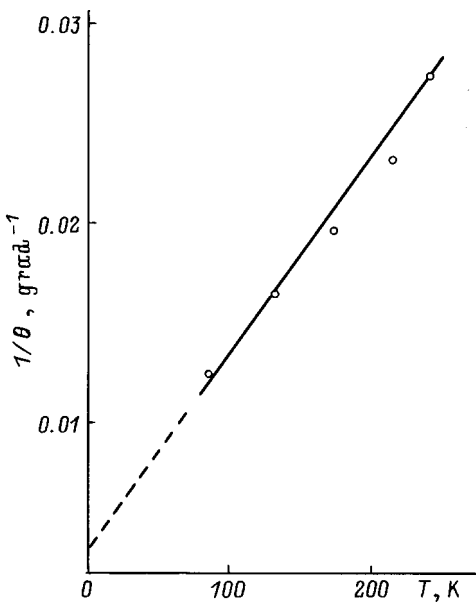
$$\times \begin{pmatrix} l_0 & 0 & l_0 \\ m_0 & -\delta_0 & -m'_0 \end{pmatrix} \langle l_1 m_1 l_0 m_0 | \frac{e^2}{r_{i\alpha}} P_{i\alpha} | l_1 m'_1 l_0 m'_0 \rangle, \quad (5)$$

$$E_{\delta_2 \delta_0}^{d_2 0}(\mathbf{R}_2) = \sum_{m_0, m'_0 \atop m_2, m'_2} (-1)^{l_0 + m_0 + l_2 + m_2} \begin{pmatrix} l_2 & d_2 & l_2 \\ m_2 & -\delta_2 & -m'_2 \end{pmatrix}$$

$$\times \begin{pmatrix} l_0 & 0 & l_0 \\ m_0 & -\delta_0 & -m'_0 \end{pmatrix} \langle l_2 m_2 l_0 m_0 | P_{j\beta} | l_2 m'_2 l_0 m'_0 \rangle, \quad (6)$$

$\langle l_1 m_1 l_0 m_0 | \frac{e^2}{r_{i\alpha}} P_{i\alpha} | l_1 m'_1 l_0 m'_0 \rangle$  — двухцентровые обменные интегралы, которые берутся на одноэлектронных волновых функциях,  $\langle l_2 m_2 l_0 m_0 | P_{j\beta} | l_2 m'_2 l_0 m'_0 \rangle$  — соответствующие интегралы перекрытия.

Оператор (2) является достаточно общим. Он учитывает кроме изотропного обменного взаимодействия различные анизотропные вклады как орбитального,



**Рис. 2.** Зависимость обратной величины угла фарадеевского вращения в кристалле  $\text{Cd}_{0.97}\text{Fe}_{0.03}\text{Te}$  от температуры.  $H = 15 \text{ kOe}$ ,  $d = 0.1 \text{ cm}$ ,  $E/E_0 = 0.9$ .

Интегралы сверхобменного взаимодействия  $J_{NN}$  (К)

Материал	M					
	Mn		Fe		Co	
	теория	эксперимент	теория	эксперимент	теория	эксперимент
CdMTe	6.6	6.2	26.7	—	—	—
CdMSe	9.6	7.6, 8.1	24.8	19.0	44.2	37.0
CdMS	7.2	9.7, 11.0	18.3	—	26.0	—
ZnMSe	15.0	12.3	25.5	22.3	56.3	49.5
ZnMS	19.4	16.1	31.2	> 22.0	53.5	47.5

спинового, так и смешанного типов, которые не будем учитывать в данной работе. Выделим наиболее важную изотропную часть обменного взаимодействия в операторе (2) и найдем диагональные матричные элементы данного оператора на волновых функциях основных состояний (1) пары магнитных ионов [8]. Тогда интеграл сверхобмена в системе M–B–M примет вид

$$J_{NN} = \frac{I(10000) (R_\chi^{10})^2}{(2S+1)} \times \left( 1 + \sum_{\substack{d_1 d_2 \\ d \delta}} \frac{I(1d_1 d_2 d \delta) R_\chi^{1d_1} R_\chi^{1d_2}}{I(10000) (R_\chi^{10})^2} (Q_\delta^d)_{\Gamma_\gamma \Gamma_\gamma} \right), \quad (7)$$

$\Gamma_\gamma$  — неприводимое представление, характеризующее основное состояние соответствующего магнитного иона в кристаллическом поле. В случае  $Mn^{2+}$  это будет полносимметричное состояние  ${}^6A_1$ , в случае  $Co^{2+}$  —  ${}^3A_2$ , а в случае  $Fe^{2+}$  —  ${}^5E$ ,

$$(Q_\delta^d)_{\Gamma_\gamma \Gamma_\gamma} = \sum_{\substack{\delta_1 \delta_2 \\ m_1 m_2 \\ m'_1 m'_2}} C_{L_1 m_1}^{\Gamma_\gamma} C_{L_1 m'_1}^{\Gamma_\gamma} C_{L_2 m_2}^{\Gamma_\gamma} C_{L_2 m'_2}^{\Gamma_\gamma} \times (-1)^{d_1 - d_2 + \delta + L_1 + L_2 - m_1 - m_2} \sqrt{2d+1} \begin{pmatrix} d_1 & d_2 & d \\ \delta_1 & \delta_2 & \delta \end{pmatrix} \times \begin{pmatrix} L_1 & d_1 & L_1 \\ -m_1 & \delta_1 & m'_1 \end{pmatrix} \begin{pmatrix} L_2 & d_2 & L_2 \\ -m_2 & \delta_2 & m'_2 \end{pmatrix}, \quad (8)$$

$I(1d_1 d_2 d \delta)$  дается выражением (4).

3. На основании выражений (7), (8) проведены численные расчеты для ряда ПМП. Кулоновские интегралы и интегралы перекрытия рассчитывались на одноэлектронных волновых слэттеровских функциях, радиальная часть которых [12] есть

$$R_n(r) = A r^{n^*-1} e^{-\xi r}, \quad (9)$$

$A$  — константа нормировки. Для упрощения численных расчетов радиальные части волновых функций (9) аппроксимировались набором гауссовых функций

$$R_n(r) = \sum_i c_i \varphi_i(r), \quad \varphi_i(r) = r^{n-1} e^{-\alpha_i r^2}. \quad (10)$$

Коэффициенты  $c_i$  и параметры  $\alpha_i$  определялись по методике [12], а  $3j$ -,  $6j$ -символы Вигнера и генеалогические коэффициенты  $G_{L_1 S_1}^{LS}$  были взяты из [11]. Как показывают численные расчеты, из набора величин  $I(1d_1 d_2 d \delta)$  максимальными являются  $I(10000)$ , что согласуется с известным "замораживанием" орбитальных моментов в кристаллическом поле [4]. Результаты расчетов  $J_{NN}$  в различных ПМП приведены в таблице.

Как видно из расчетов, величина  $J_{NN}$  существенно зависит от типа магнитных ионов и возрастает в ряде Mn–Fe–Co, что находится в неплохом согласии с экспериментальными данными, взятыми из обзора [2]. Очевидно, величину  $J_{NN}$  определяют количество электронов на  $3d$ -оболочке и тип орбитального состояния.

4. Экспериментальные значения  $J_{NN}$ , приведенные в таблице, получены различными методами. Представляет интерес измерить константу междуюонного обменного взаимодействия сравнительно малоизвестным методом экстраполяции температурной зависимости фараадеевского вращения в ПМП. В соответствии с [13] угол фараадеевского вращения  $\theta_F$  в ПМП типа  $A_{1-x}^{II-x} M_x B^{VI}$  для области высоких температур  $T$  и низких магнитных полей  $H$  аналитически можно описать соотношением

$$\theta_F = \frac{F_0 d}{2\hbar c} \frac{\beta - \alpha}{g_m \mu_B} \frac{C_0 x}{T + \theta_0 x} H \frac{E^2}{(E_0^2 - E^2)^{3/2}}, \quad (11)$$

где  $F_0$  — константа, зависящая от силы осциллятора экситонного перехода,  $E_0$  — энергия перехода на экситонный уровень,  $E$  — энергия фотонов,  $g_m$  — фактор спектроскопического расщепления электронов магнитного иона  $M$ ,  $\mu_B$  — магнетон Бора,  $\alpha$ ,  $\beta$  — интегралы обменного взаимодействия ионов  $M$  с электронами и дырками соответственно,  $C_0$  и  $\theta_0$  — константы в закономерности Кюри–Вейсса для магнитной восприимчивости.

Из выражения (11) следует, что температурная зависимость эффекта Фарадея определяется таковой в сомножителе  $C_0 x / (T + \theta_0 x)$  и зависимостью от температуры энергии экситона  $E_0$ . Влияние изменения с температурой величины  $E_0$  на  $\theta_F(T)$  можно

свести к минимуму, если использовать данные для  $\theta_F$ , измеренные при постоянном отношении  $E/E_0$ . В этом случае, как это показано в [14], температурная зависимость  $\theta_F$  полностью отражает зависимость намагниченности магнитной подсистемы в ПМП от температуры.

Приведенный на рис. 2 пример температурной зависимости обратной величины фараадеевского вращения для образца  $Cd_{1-x}Fe_xTe$  с  $x = 0.03$  демонстрирует, что в интервале температур  $70 < T < 250$  К имеет место выполнение закономерности Кюри–Вейса. Путем экстраполяции линейного участка получено значение параметра  $\theta_0 x = -(35 \pm 3)$  К. В свою очередь на основе известного выражения

$$\theta_F = -\frac{8S(S+1)J_{NN}}{k_B}, \quad (12)$$

где  $S = 2$  в исследуемом случае для иона  $Fe^{2+}$ , находим константу обменного взаимодействия между этими ионами  $J_{NN} = 24.3 \pm 2$  К, что находится в удовлетворительном согласии с результатами расчета (см. таблицу).

Более сложный характер имеет температурная зависимость фараадеевского вращения для  $Cd_{1-x}Fe_xTe$  в низкотемпературном интервале  $4.2 < T < 70$  К (рис. 3). Ранее нами уже отмечались [15] особенности  $\theta_F(T)$  в области гелиевых температур, обусловленные ван-флековским парамагнетизмом Fe-содержащих ПМП.

Если в кристаллах  $Cd_{1-x}Mn_xTe$ , по данным исследования эффекта Фарадея [16], критическое значение  $x^*$ , при котором обменное взаимодействие между ионами становится существенным, составляет

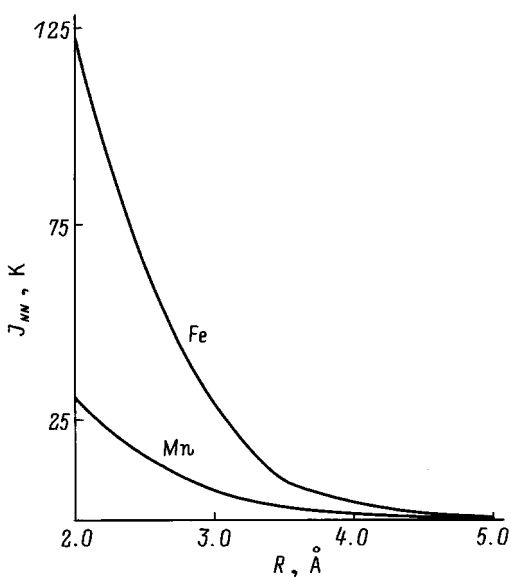


Рис. 4. Зависимость интеграла  $J_{NN}$  от расстояния между магнитными ионами.

примерно 0.3, то для  $Cd_{1-x}Fe_xTe$ , согласно нашим исследованиям, обменное взаимодействие существенно уже при  $x^* \approx 0.03$ . Другими словами, обмен Fe–Fe при заданном расстоянии между магнитными ионами значительно больше обмена Mn–Mn при том же расстоянии. Приведенные в таблице результаты справедливы для фиксированного расстояния между ионами М–В–М. Интересным представляется расчет зависимости величины  $J_{NN}$  от расстояния между магнитными центрами. На рис. 4 приведен результат такого расчета для величин сверхобменного интеграла систем Fe–Te–Fe и Mn–Te–Mn в зависимости от расстояния между магнитными ионами. Для расстояния порядка  $a/2$  отношение интегралов сверхобменного взаимодействия  $J_{NN}^{Fe}/J_{NN}^{Mn}$  составляет величину  $\approx 3$ .

Таким образом, тенденция возрастания  $J_{NN}$  по ряду Mn–Fe–Co и количественная близость экспериментальных и расчетных значений  $J_{NN}$  для различных материалов и магнитных ионов доказывают, что сверхобменное взаимодействие между магнитными ионами через немагнитный анион является основным обменным взаимодействием в данных материалах. Подход позволяет также оценить величину  $J_{NN}$  для различных концентраций магнитной компоненты в ПМП  $A_{1-x}^{II} M_x B^{VI}$ .

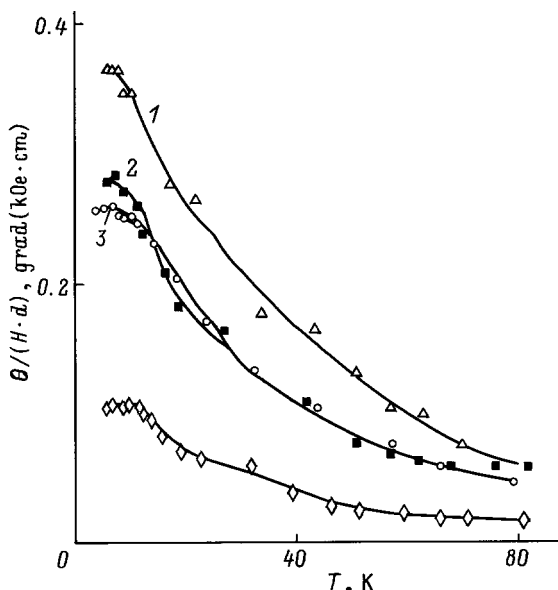


Рис. 3. Температурная зависимость константы Верде для кристаллов  $Cd_{1-x}Fe_xTe$  различного состава.  $x$ : 1, 2 — 0.03; 3 — 0.01; 4 — 0.05.  $E$  (eV): 1, 3 — 1.512; 2, 4 — 1.494.

## Список литературы

- [1] Полумагнитные полупроводники / Пер. с англ.; Под ред. Я. Фурдыны, Я. Косута. Мир, М. (1992). 496 с.
- [2] A. Twardowski. Phys. Scripta **39**, 124 (1991).
- [3] B.E. Larson, K.C. Hass, H. Ehrenreich, H.E. Carlson. Phys. Rev. **B37**, 8, 4137 (1988).

- [4] С.В. Вонсовский. Магнетизм. Наука, М. (1971). 1032 с.
- [5] J. Racah. Phys. Rev. **76**, 1352 (1949).
- [6] Ю.П. Ирхин. ЖЭТФ **50**, 379 (1966).
- [7] В.В. Дружинин, Ю.П. Ирхин. ЖЭТФ **51**, 1856 (1966).
- [8] А.С. Москвин. ФТТ **12**, 11, 3208 (1970).
- [9] А.М. Леушин. Таблицы функций, преобразующихся по неприводимым представлениям кристаллографических точечных групп. Наука, М. (1968). 142 с.
- [10] М.В. Еремин, А.А. Корниенко, А.М. Леушин. ФТТ **14**, 2, 378 (1972).
- [11] Ш.Л. Собельман. Введение в теорию атомных спектров. М. (1977). 319 с.
- [12] K. Ohata, H. Taketa, S. Huzinaga. J. Phys. Jap. **21**, 2306 (1966).
- [13] D.U. Bartholomew, J.K. Furdyna, A.K. Ramdas. Phys. Rev. **B34**, 6943 (1986).
- [14] Oh. Eunsoon, D.U. Bartholomew, A.K. Ramdas, J.K. Furdyna, U. Debska. Phys. Rev. **B38**, 18, 13183 (1988).
- [15] A.I. Savchuk, B.E. Derkach, O.R. Klichuk, P.I. Nikitin. IEEE Trans. Magn. **28**, 5, 3246 (1992).
- [16] П.И. Никитин, А.И. Савчук. УФН **160**, 11, 167 (1990).